

## بررسی همگرایی در روش آیزوژئومتریک در قالب مسئله‌ی الستیک آزمون فشار قطری با تکینگی حاصل باز نقطه‌ای

بهروز حسنی<sup>۱\*</sup>, عmad بیدخوری<sup>۲</sup>

۱- استاد، مهندسی مکانیک، دانشگاه فردوسی، مشهد

۲- دانشجوی دکتری، مهندسی مکانیک، دانشگاه فردوسی، مشهد

\* مشهد، صندوق پستی ۹۱۷۷۵-۱۱۱۱

### چکیده

با غنی‌سازی  $h$  و  $p$  ترکیب آن دو در روش آیزوژئومتریک با امکان انتخاب پیوستگی‌های مختلفی که این روش در اختیار می‌گذارد، همگرایی و خطای انتخاب توابع شکل با درجات و پیوستگی‌های مختلف مطالعه شد. این کار در قالب تحلیل عددی یک مسئله‌ی واقعی و پرکاربرد به نام آزمون فشار قطری صورت گرفت. نکته‌ی مثبت این مسئله دایره‌ای بودن هندسه‌ی مسئله بود، زیرا که روش آیزوژئومتریک با استفاده از توابع شکل نریز توانایی بالقوه‌ای را در اختیار طراح قرار می‌دهد تا با استفاده از کمترین تعداد المان، هندسه‌ی دقیق دایره‌ای مسئله را تولید کند. بارگذاری نقطه‌ای شرایط تکینگی را به مسئله وارد کرد. با غنی‌سازی به صورت یکنواخت پارامترهای تأثیرگذار به نوع توابع شکل، درجه و پیوستگی آن‌ها محدود شد. با استفاده از غنی‌سازی‌های مختلف و افزایش درجات آزادی میزان همگرایی جواب تقریبی به جواب دقیق حاصل از تئوری الاستیسیته تحت بررسی قرار گرفت. دیده شد که خطا در روش آیزوژئومتریک و در حضور تکینگی مذکور لزوماً با افزایش درجه‌ی توابع شکل کاهش نمی‌یابد بلکه میزان پیوستگی عامل تعیین‌کننده‌ی دیگری در مقدار خطا است. همچنین ملاحظه گشت که نرخ همگرایی در حضور تکینگی برای تمامی درجات توابع نریز و لاگرانژی و تمام پیوستگی‌ها به یک مقدار همگرا می‌شود. در روند غنی‌سازی در ابتدا حداقل تعداد المان و درجات آزادی استفاده شد تا تحلیل و بررسی مسئله قابل فهم و ملموس باشد. سپس در مراحل بعدی با روش‌های  $h$  و  $p$  و ترکیب آن‌ها غنی‌سازی صورت گرفت.

### اطلاعات مقاله

مقاله پژوهشی کامل

دریافت: ۱۴ شهریور ۱۳۹۴

پذیرش: ۱۵ آبان ۱۳۹۴

ارائه در سایت: ۰۹ آذر ۱۳۹۴

کلید واژگان:

آیزوژئومتریک

آزمون فشار قطری

تکینگی

همگرایی

## Study of convergence in isogeometric method in the framework of “Diametral Compression Test” elasticity problem with point load singularity

Behrooz Hassani<sup>\*</sup>, Emad Bidkori

Department of Mechanical Engineering, Ferdowsi University, Mashhad, Iran.

\* P.O.B. 91775-1111 Mashhad, Iran, b\_hassani@um.ac.ir

### ARTICLE INFORMATION

Original Research Paper  
Received 05 September 2015  
Accepted 06 November 2015  
Available Online 30 November 2015

**Keywords:**  
Isogeometric  
Diametral Compression Test  
Singularity  
Convergence

### ABSTRACT

Applying and combining  $h$  and  $p$  refinement techniques in isogeometric method with the possibility of continuity elevation that this method provides, convergence and error of using different kinds of shape functions with different orders and continuities is investigated. It is done in a numerical analysis framework of a practical and well known problem called “Diametral Compression Test”. The advantage of this case is its circular geometry, since IGA provides designers with high potential of the possibility of using minimum elements to make the exact circular geometry. The point load inserts singularity to the problem. The refinement is utilized uniformly as the effective parameters are limited to the kind, order and continuity of shape functions. With different refinement techniques the convergence of approximated solution to the exact solution of linear elasticity is examined. It is concluded that with the singularity that is mentioned, the error in IGA is not necessarily reduced with a rise in order, more precisely the level of continuity is another important issue to determine error rise. It is also seen that in the presence of point load singularity the rate of error converges to the same value for all degrees of NURBS and Lagrangian shape functions with any continuity. At the beginning of refinement process the minimum number of elements is used to make the process clearer to understand. In the next steps  $h$  and  $p$  techniques and their combination are used to refine the model.

تمامی این الگوریتم‌ها را می‌توان دستورالعملی برای حل عددی یک معادله دیفرانسیل دانست. حل عددی برخلاف حل تحلیلی، جواب تقریبی مسئله را می‌دهد زیرا که جواب تحلیلی قابل دستیابی نیست یا دستیابی به آن سخت

۱- مقدمه برای تحلیل مسائل مهندسی سازه با کمک کامپیوتر مهمترین و اولین قدم ارائه و گسترش الگوریتم‌های عددی برای حل معادلات دیفرانسی حاکم است.

Please cite this article using:

B. Hassani, E. Bidkori, Study of convergence in Isogeometric method in the framework of “Diametral Compression Test” elasticity problem with point load singularity, Modares Mechanical Engineering, Vol. 15, No. 12, pp. 265-271, 2015 (in Persian)

برای ارجاع به این مقاله از عبارت ذیل استفاده نمایید:

بهتر کردن الگوریتم‌های تماس استفاده کردند [7]. حسنی و همکارانش از آن در بهینه‌سازی شکل بهره برد [8]. ورهوسی و همکاران از آن در مکانیک شکست استفاده کردند [9]. همچنین نوآوری‌های زیادی در کد نویسی آن برای بهبود قدرتش در تحلیل‌های عددی انجام گرفت. هیوز و همکاران روشی کارآمدتر در انتخاب نقاط گوسی ارائه کردند [10]. کوتول و همکاران از ترکیب روش  $h$  و  $p$  روش  $k$  را برای بهسازی شبکه ارائه کرد [11]. بازیلو و همکاران به مزایای استفاده از تی-اسپیلاین‌ها<sup>11</sup> به علت کمتر بودن نقاط کنترلی‌شان در تحلیل آیزوژئومتریک پرداختند [12].

با اینکه ده سال از معرفی آیزوژئومتریک می‌گذرد اما هنوز این روش در کاربرد مورد انتظار را بدست نیاورده است. هنوز کد نویسان رغبت بیشتری به استفاده از "المان محدود کلاسیک" در موارد کاربردی از خود نشان می‌دهند. یک مزیت مهم آیزوژئومتریک امکان بهبود تحلیل مسئله بدون تغییر در هندسه مسئله است، اما این به آن معنی نیست که هندسه مسئله می‌تواند به راحتی در هر نوع تحلیلی مورداستفاده قرار گیرد. به عبارتی شرایط تحلیل به روی نحوه انتخاب بردار گرهی و نقاط کنترلی تأثیر زیادی دارد، در حالی که در کدهای المان محدود کلاسیک این تأثیر کمتر است. مزیت‌ها و کاستی‌هایی که دو روش نسبت به هم دارند و همچنین غنی بودن الگوریتم‌ها و کدهای نوشتۀ شده با "المان محدود کلاسیک" محققین را به سمت سازگار کردن کدها و الگوریتم‌های المان محدود کلاسیک با روش آیزوژئومتریک برده است. در این راستا مطالعه‌ی بنیادی روش آیزوژئومتریک و مقایسه‌ی آن با المان محدود کلاسیک می‌تواند راه را برای برطرف کردن ضعف‌ها و تقویت نقاط برتری این روش نسبت به المان محدود کلاسیک باز کند تا مهندسان و کد نویسان با آگاهی بیشتری به سمت جایگذاری توابع نریز در کدهای المان محدود بروند.

در این مقاله از روش آیزوژئومتریک و المان محدود کلاسیک در تحلیل الاستیک یک مسئله معمول استفاده می‌شود تا بتوان همگرایی خطای و افزایش دقیق را در روش آیزوژئومتریک با غنی‌سازی  $h$ ,  $p$  و ترکیب آن دو در حضور پیوستگی‌های مختلف، مطالعه کرد. این مسئله آزمون فشار قطری بهروی یک دیسک همگن الاستیک است. ازانجایی که مزیت اصلی استفاده از توابع نریز امکان تولید هندسه‌های دایره‌ای است، هندسه‌ی دیسک با حداقل تعداد المان ممکن قابل ساخت است. وجود تکینگی برای بار نقطه‌ای شرایط ویژه‌ای را به نرخ کاهش خطای در المان محدود و آیزوژئومتریک اعمال می‌کند. در این مقاله هدف بررسی و مقایسه کاهش خطای در اثر غنی‌سازی  $h$  و  $p$  و ترکیب آن دو یعنی غنی‌سازی  $h-p$ ، با درجه‌ی توابع پایه و پیوستگی مختلف در آیزوژئومتریک و مقایسه آن با المان محدود کلاسیک هست. برای این کار یک کد تحلیلی در متلب نوشته شده است. شبکه‌بندی مسائل بدون توجه به نوع بارگذاری انجام می‌شود و به عبارتی درشت‌ترین شبکه‌بندی با کمترین تعداد المان در ابتدا انتخاب می‌شود و سپس این شبکه در روش آیزوژئومتریک به طور یکنواخت در کل دامنه به درجه‌ی بالاتر برده می‌شود (غنی‌سازی  $p$ ) و سپس به صورت یکنواخت غنی‌سازی یکنواخت  $h$  می‌شود. ولی در تحلیل‌های المان محدود کلاسیک نوع المان با توجه به درجه‌ی آن انتخاب و سپس شبکه با غنی‌سازی یکنواخت  $h$  ریزتر می‌شود. حل دستگاه در هر غنی‌سازی با الگوریتم مشابهی انجام می‌شود تا تأثیر انتخاب نوع الگوریتم حل دستگاه به مقایسه وارد نشود. در تحلیل‌های این مقاله الگوریتم عددی، شرایط هندسی و فیزیکی و همچنین شکل شبکه‌بندی برای تحلیل‌های معادل بین المان

است. معادله‌ی دیفرانسیل حاکم از اصول پایه مکانیک حاصل می‌شود و باقیستی در یک دامنه‌ی فیزیکی با شرایط مرزی مشخص حل شود.

روش‌های مختلفی برای حل عددی معادلات دیفرانسیل ارائه شده است که بعضی از آن‌ها در حوزه مهندسی بکار گرفته شده‌اند. در روش تفاضل محدود<sup>1</sup> مقدار تابع و مشتقات در نقاطی گسسته از دامنه تقریب زده می‌شوند. در روش حجم محدود<sup>2</sup> دور نقاط گسسته درون دامنه معادله، حجم محدودی در نظر گرفته شده و پس از تبدیل معادله دیفرانسیل به فرم انتگرالی و استفاده از تئوری دیورژانس انتگرال‌های حجم به انتگرال‌های سطح تبدیل می‌شوند. این نوع تحلیل به علت گسسته سازی شبکه‌ای غیر سازه‌ای<sup>3</sup> در دینامیک سیالات محاسباتی کاربرد فراوانی دارد [1]. روش‌های بدون شبکه<sup>4</sup> به دسته‌ای از روش‌ها گفته می‌شود که در آن‌ها نیازی به شبکه‌بندی دامنه‌ی تحلیل نیست. این نوع تحلیل در مسائلی که دامنه دچار تغییر شکل‌های زیادی می‌شود کاربرد دارد [2]. روش المان محدود<sup>5</sup> نوعی فن عددی برای یافتن حل تقریبی مسائل مقدار مرزی هست. این روش با استفاده از حساب تغییرات<sup>6</sup> تابع خطا را در دامنه مسئله مینیمم کرده و یک حل پایدار را به دست می‌دهد. روش المان محدود در برگیرنده‌ی تمامی روش‌هایی است که با اتصال تعداد زیادی تابع ساده روى تعداد زیادی زیر دامنه کوچک، به نام المان محدود، یک تابع پیچیده را روی یک دامنه‌ی فیزیکی بزرگ تقریب می‌زند.

در روش المان محدود دامنه‌ی مسئله با المان‌هایی گسسته‌سازی می‌شود. هندسه‌ی هر المان تابعی از مختصات گره‌های آن و نوع توابع پایه<sup>7</sup> انتخابی هست. با به کار گیری اصل آیزوپارامتریک، توابع شکل یکسانی برای تقریب هندسه و فیزیک مسئله استفاده می‌شوند. استفاده از این نوع المان‌ها با توابع پایه‌ی چندجمله‌ای بیشترین استفاده را در کدهای تحلیلی المان محدود دارد، به طوری که واژه‌ی "المان محدود کلاسیک" به این نوع تحلیل اطلاق می‌شود. در سال‌های اخیر به علت استفاده گسترده از توابع پایه‌ی نریز<sup>8</sup> در نرم‌افزارهای طراحی به کمک کامپیووتر<sup>9</sup> کوشش‌هایی توسط هیوز و همکارانش انجام شد تا از این توابع در تقریب فیزیک مسئله نیز استفاده شود [3]. جایگزینی این توابع به جای توابع کلاسیک چندجمله‌ای در تحلیل المان محدود به نوآوری‌ها و دستاوردهای زیادی منجر شد و نام "آیزوژئومتریک"<sup>10</sup> برای آن انتخاب شد.

مزیت اصلی استفاده از توابع نریز توانایی آن‌ها در ایجاد پیوستگی مرتبه‌ی بالاتر از صفر در مرز المان‌ها هست. با این مزیت تولید هندسه‌های دقیق‌تر با توابع شکل نریز امکان‌پذیر است؛ در نتیجه با استفاده از روش آیزوپارامتریک می‌توان جواب‌های دقیق‌تر برای فیزیک مسئله بdst است آورده. پس از ارائه روش آیزوژئومتریک تحقیقات گسترده‌ای برای استفاده از آن در تحلیل‌های مختلف انجام شد. کوتول و همکاران از آن در تحلیل ارتعاشات سازه‌ها استفاده کردند و نشان دادند استفاده از آیزوژئومتریک خطای کمتری در تخمین فرکانس‌ها دارد [4]. بازیلو و همکاران به تحلیل آیزوژئومتریک در برخورد سازه-سیال پرداختند [5]. الگوئد و همکارانش از آن در تحلیل مواد الاستیک غیرخطی و پلاستیک بهره برند [6]. لورنزا و همکاران از آن در

1- Finite Difference Method

2- Finite Volume Method

3- Unstructured grid discretization

4- Meshfree Methods

5- Finite Element Method

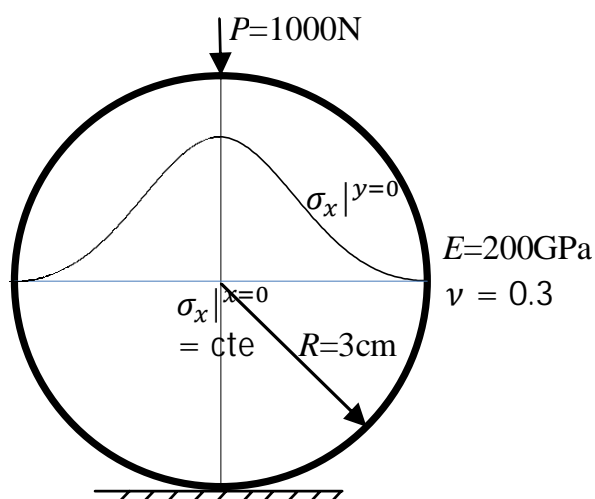
6- Calculus of Variations

7- Basis functions

8- NURBS

9- Computer Aided Design(CAD)

10- Isogeometric (IGA)



**Fig. 1** The disc under diametral compression and stress distributions on two vertical and horizontal diametral directions

شکل ۱ دیسک تحت فشار قطبی و توزیع‌های تنش تحلیلی روی دو جهت قطبی

افقی و عمودی

$$\begin{aligned} U_x|_{y=0} &= \frac{-2p}{\pi t E} \left\{ -(1+\nu) \frac{x \times R}{x^2 - R^2} + (1-\nu) \left( \tan^{-1} \frac{x}{R} - \frac{x}{2R} \right) \right\} \\ U_y|_{x=0} &= \frac{-2p}{\pi t E} \left\{ \log \frac{R+y}{R-y} + (\nu-1) \frac{y}{2R} \right\} \end{aligned} \quad (3)$$

### 3- گسسته سازی با توابع لاگرانژی

به طور کلی المان محدود یک فن عددی برای حل معادلات دیفرانسیل معمولی<sup>۱</sup> و یا مشتق جزئی<sup>۲</sup> است. یک المان محدود بخشی کوچک از میدان مسئله است که با مشخصه‌های دامنه‌ی المان، مختصات نقاط و نوع توابع شکل تعریف می‌شود [17]. تابع شکل نحوه‌ی توزیع متغیر مسئله را روی دامنه‌ی هر المان مشخص می‌کند. در المان محدود کلاسیک استفاده از تابع چندجمله‌ای لاگرانژی به عنوان تابع شکل رایج است. جهت مطالعه در مورد خواص این تابع در به کارگیری آن‌ها به عنوان تابع شکل می‌توان به هر کتابی با موضوع تئوری المان محدود یا کاربردهای آن مراجعه کرد. از آنجایی که هدف بررسی کاهش خطأ و نرخ آن بر اساس تعداد درجات آزادی است و تعداد درجات آزادی به درجه المان و تعداد آن‌ها بستگی دارد لذا فرآیند غنی‌سازی ترکیبی از غنی‌سازی h و p و به عبارتی hp-FEM است [17].

برای مسئله‌ی مورده بحث از سه نوع المان لاگرانژی چهار وجهی چهار، نه و شانزده گرهی که به ترتیب دارای درجه‌ی یک، دو و سه از تابع چندجمله‌ای لاگرانژی می‌باشند استفاده شد (شکل 2). لازم است ذکر شود که شبکه‌بندی پروانه‌ای شکل 3 به علت نداشتن المان‌های بدشکل، شبکه‌بندی با کیفیت‌تری است. اما از آنجایی که در این مقاله هدف مقایسه‌ی استفاده از تابع لاگرانژی و نریز هست، و تولید مش پروانه‌ای با استفاده از تابع نریز با پیوستگی‌های بالاتر احتیاج به تمهدیات ویژه‌ای دارد؛ لذا از این نوع مش استفاده نشد. با بهره‌گیری از الگوریتم‌های موجود برای غنی‌سازی h و p دامنه‌ی مسئله برای رسیدن به درجات آزادی بالاتر غنی‌سازی شد. در شکل 4 شبکه‌بندی و روند غنی‌سازی با المان‌های چهارضلعی درجه‌ی 1 ارائه شده است. شبکه‌بندی و غنی‌سازی با المان‌های درجه‌دو و سه نیز به همین شکل انجام شده است.

### 4- گسسته سازی با توابع نریز

تابع نریز توابعی کسری هستند که صورت و مخرجشان تابع بی-اسپیلاین<sup>۳</sup>

محدود کلاسیک و آیزوژئومتریک یکسان انتخاب شده و پارامترهای متغیر، نوع توابع شکل، درجه‌ی آن‌ها و میزان پیوستگی هستند تا تأثیر آن‌ها به صورت خالص مطالعه گردد. پیکربندی این مقاله به این ترتیب است که: پس از مقدمه در بخش دوم مسئله آزمون فشار قطبی معرفی می‌شود. در این بخش میدان تنش تحلیلی تولیدی در اثر بارگذاری نقطه‌ای فشاری ارائه می‌شود، این جواب در قسمت‌های عددی معيار محاسبه‌ی خطأ هست. بخش سوم به نحوه گسسته سازی المان محدود و تحلیل مسئله می‌پردازد. بخش چهارم به علت نوبعدن روش آیزوژئومتریک ابتدا تئوری آن را به طور مختصر ارائه می‌دهد و سپس به نحوه تحلیل و گسسته سازی مسئله با این روش می‌پردازد. در بخش پنجم و ششم نتایج تحلیل از زاویه‌ی کاهش خطأ و نرخ آن بررسی و با یکدیگر مقایسه شده و نتایج ارائه می‌شود.

## 2- آزمون فشار قطبی

آزمون فشار قطبی که به آزمون دیسک برزیلی نیز شهرت دارد، به صورت گسترهای جهت اندازه‌گیری مقاومت کششی مواد ترد مانند سرامیک‌ها، بتون، پلیمرها و سنگ‌ها استفاده شده است [13, 14]. این آزمون اولین بار توسط مهندسین برزیلی، کارنیلو و بارسلوس برای اندازه‌گیری مقاومت بتون استفاده شد [15]. علت استفاده گسترده از آن سادگی بارگذاری و هندسه‌ی آزمون می‌باشد. در اثر این نوع بارگذاری علاوه بر تنش فشاری، تنش کششی ثابتی عمود بر قطبی که در راستای بار است به وجود می‌آید که به سادگی می‌تواند مبنای برای شکست قطعه شود (شکل 1).

بر پایه‌ی الاستیک خطی فرمول‌های ریاضی (1) برای میدان تنش تحلیلی در حالت صفحه‌ای داده شده‌اند [16].

$$\begin{aligned} \sigma_x &= \frac{-2P}{\pi t} \left\{ \frac{x^2(R-y)}{\beta_1^4} + \frac{x^2(R+y)}{\beta_2^4} - \frac{1}{2R} \right\} \\ \sigma_y &= \frac{-2P}{\pi t} \left\{ \frac{(R-y)^3}{\beta_1^4} + \frac{(R+y)^3}{\beta_2^4} - \frac{1}{2R} \right\} \\ \tau_{xy} &= \frac{-2P}{\pi t} \left\{ \frac{x(R-y)^3}{\beta_1^4} + \frac{x(R+y)^3}{\beta_2^4} \right\} \end{aligned} \quad (1)$$

که در آن  $\beta_2^2 = (R+y)^2 + x^2$  و  $\beta_1^2 = (R-y)^2 + x^2$

از آنجایی که تحلیل‌های المان محدود و آیزوژئومتریک بر پایه‌ی جابجایی‌ها می‌باشند، برای مقایسه همگرایی و دقت جواب‌های تقریبی حاصل از آن‌ها در بخش‌های بعدی بهتر است جواب دقیق در صورت امکان بر پایه‌ی جابجایی‌ها بیان شود. این کار همچنین باعث می‌شود که پارامترهای تأثیرگذار در انتخاب نقاط فوق همگرای تنش و کرنش به مسئله وارد نشود. برای این کار معادلات (1) را می‌توان با استفاده از معادلات هوک و روابط کرنش جابجایی (2) انتگرال گیری کرد.

$$\begin{aligned} \varepsilon_x &= \frac{1}{E} \{ \sigma_x - \nu \sigma_y \}, \varepsilon_y = \frac{1}{E} \{ \sigma_y - \nu \sigma_x \}, \varepsilon_{xy} = \frac{1}{G} \tau_{xy} \\ \varepsilon_x &= \frac{\partial u}{\partial x}, \varepsilon_y = \frac{\partial v}{\partial y}, \varepsilon_{xy} = \frac{\partial u}{\partial y} + \frac{\partial v}{\partial x} \end{aligned} \quad (2)$$

این کار در تمام سطح دامنه پیچیدگی‌های زیادی دارد ولی در راستاهای قطرهای افقی و عمودی شرایط  $\tau_{xy} = 0$  برقرار است. به این ترتیب دیفرانسیل‌های جزئی معادلات (2) به دیفرانسیل‌های کامل تبدیل می‌شوند و انتگرال گیری از آن‌ها ساده‌تر می‌شود و معادلات (3) برای جابجایی  $U_x$  در راستای قطر افقی و  $U_y$  در راستای قطر عمودی، با توجه به مختصات شکل 1 به دست می‌آید.

1- ODE  
2- PDE  
3- B-Splines

#### 4-1-4- توابع پایه‌ی بی اسپیلاین

بی-اسپیلاین‌ها منحنی‌های چندجمله‌ای تکه‌ای<sup>1</sup> هستند. منحنی بی-اسپیلاین از ترکیب خطی توابع پایه بی-اسپیلاین تشکیل می‌شود. توابع پایه بی-اسپیلاین به روی یک مجموعه از اعداد حقیقی مثبت به نام بردار گرهی<sup>2</sup> ساخته می‌شود. بردار گرهی مجموعه‌ای از اعداد غیرکاوهشی است که به صورت  $\{\xi_1, \xi_2, \dots, \xi_{n+p+1}\} = \mathcal{E}$  است. از آنجایی که یک بردار گرهی دامنه‌ی پارامتری المان‌ها را تشکیل می‌دهد بایستی یک "بردار گرهی باز"<sup>3</sup> باشد، یعنی اولین و آخرین عدد آن  $p+1$  بار تکرار شده باشند، که  $p$  درجه‌ی بی-اسپیلاین است. همچنین لازم است که بردار گرهی  $n+p+1$  عضو داشته باشد که  $n$  تعداد توابع پایه هست. توابع پایه بی-اسپیلاین با فرمول بازگشتی کوکس-دبور<sup>4</sup> با معادله‌ی (4) به دست می‌آیند.

$$\begin{aligned} B_{i,0}(\xi) &= \begin{cases} 1 & \xi \in [\xi_i, \xi_{i+1}] \\ 0 & \xi \notin [\xi_i, \xi_{i+1}] \end{cases} \\ B_{i,p}(\xi) &= \frac{\xi - \xi_i}{\xi_{i+p} - \xi_i} B_{i,p-1}(\xi) \\ &\quad + \frac{\xi_{i+p+1} - \xi}{\xi_{i+p+1} - \xi_{i+1}} B_{i+1,p-1}(\xi) \end{aligned} \quad (4)$$

یک منحنی بی-اسپیلاین را می‌توان طبق معادله‌ی (5) از ترکیب خطی توابع پایه بی-اسپیلاین ساخت. که در آن  $\bar{P}_i$  بردارهای مجزا در فضا هستند. با توجه به اینکه این تبدیل خطی است لذا خواص منحنی‌های بی-اسپیلاین مشابه خواص توابع پایه‌ی تشکیل‌دهنده خود هستند.

$$\bar{C}(\xi) = \sum_{i=1}^m \bar{P}_i B_{i,p} \quad (5)$$

توابع بی-اسپیلاین چند متغیره از طریق ضرب تنسوری بی-اسپیلاین‌های تک متغیره درست می‌شوند؛ در نتیجه صفحات و حجم‌های بی-اسپیلاین از ترکیب خطی این توابع چند متغیره حاصل می‌شوند.

#### 4-2- توابع پایه‌ی نربز

توابع بی-اسپیلاین توانایی لازم را برای تولید شکل‌های ساده‌ای مثل دایره‌ها بی‌پی‌ها ندارند. به دلیل همین ضعف، از توابع نربز برای ساخت هندسه‌ها در نرمافزارهای طراحی به کمک کامپیوتر استفاده می‌شود. البته توابع بی-اسپیلاین حالت خاصی از توابع نربز هستند. یک منحنی نربز با معادله‌ی (6) تولید می‌شود.

$$\bar{C}(\xi) = \sum_{i=1}^m \bar{P}_i R_{i,p} \quad (6)$$

در این رابطه  $R_{i,p}$  توابع پایه‌ی نربز هستند، که به صورت کسری با رابطه‌ی (7) تعریف می‌شوند. بقیه‌ی خواص در مورد پیوستگی آن‌ها با توابع پایه‌ی بی-اسپیلاین یکسان است. در رابطه‌ی (7)،  $B_{i,p}(\xi)$  توابع پایه بی-اسپیلاین هستند و  $w_i$  وزن هر تابع پایه بی-اسپیلاین هست. توابع پایه‌ی بی-اسپیلاین با در نظر گرفتن وزن واحد برای هر کدام، از رابطه‌ی (7) به دست می‌آیند.

$$R_{i,p}(\xi) = \frac{w_i B_{i,p}(\xi)}{\sum_{j=1}^m w_j B_{j,p}(\xi)} \quad (7)$$

#### 4-3- تحلیل عددی مسئله‌ی آزمون برزیلی با توابع شکل نربز

در گسسته سازی با توابع پایه‌ی لاغرانژی هر المان هندسی مستقلان با تبدیل

1- Piecewise polynomial

2- Knot vector

3- Open knot vector

4- Cox-de Boor recursion formula

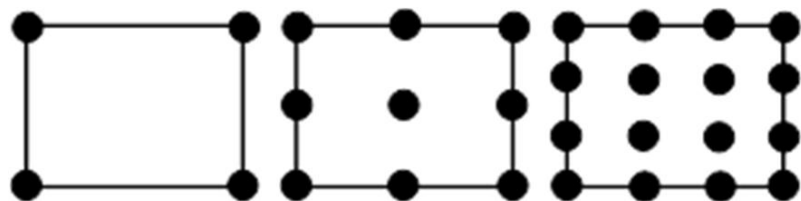


Fig. 2 Three kinds of Langrangian elements that are applied in classic FEM analysis

شکل 2 سه نوع المان لاغرانژی بکار گرفته شده در تحلیل المان محدود کلاسیک

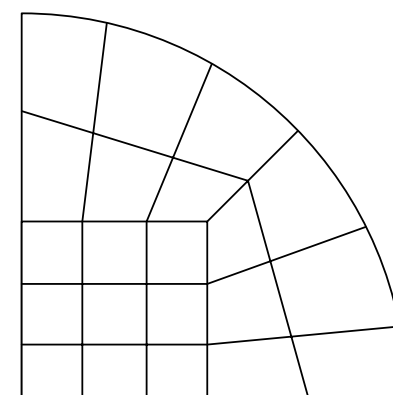


Fig. 3 Butterfly mesh grid, suitable for circular geometries

شکل 3 شبکه‌بندی پروانه‌ای، مناسب برای هندسه‌های دایره‌ای

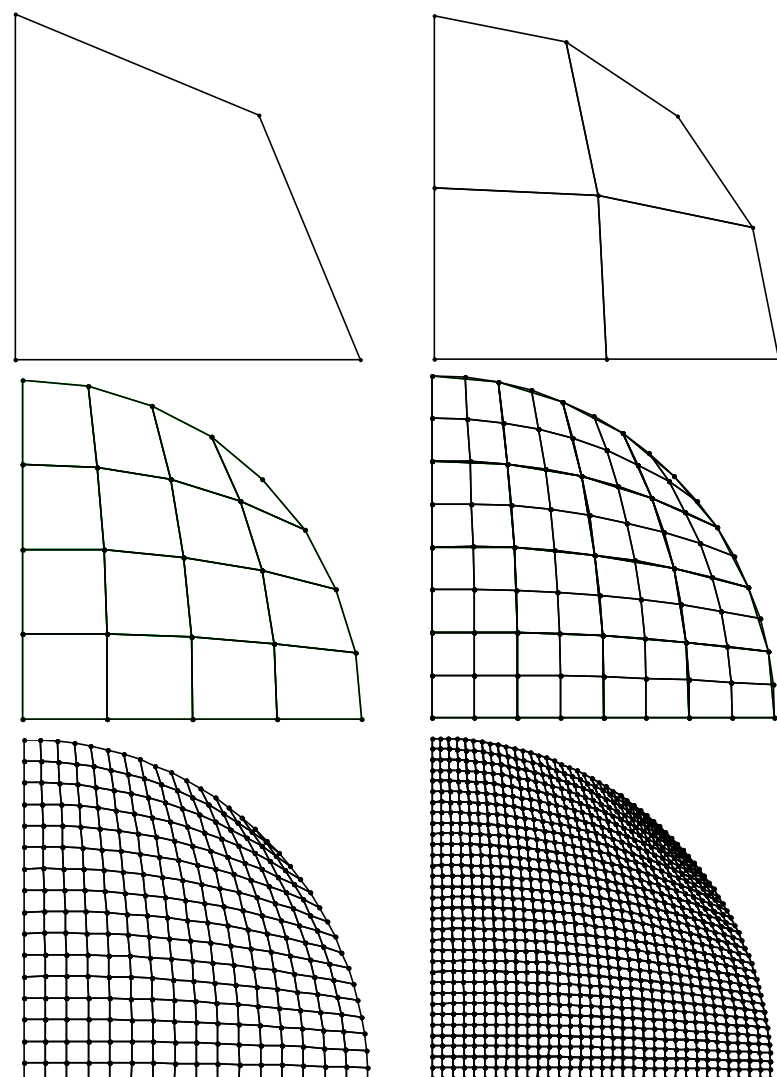
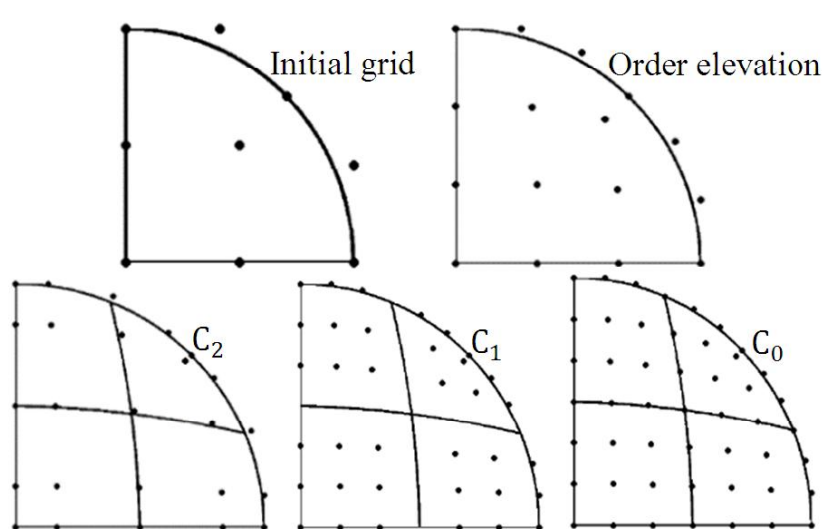


Fig. 4 Discretization and uniform h-refinement with classical Lagrangian quadratic elements

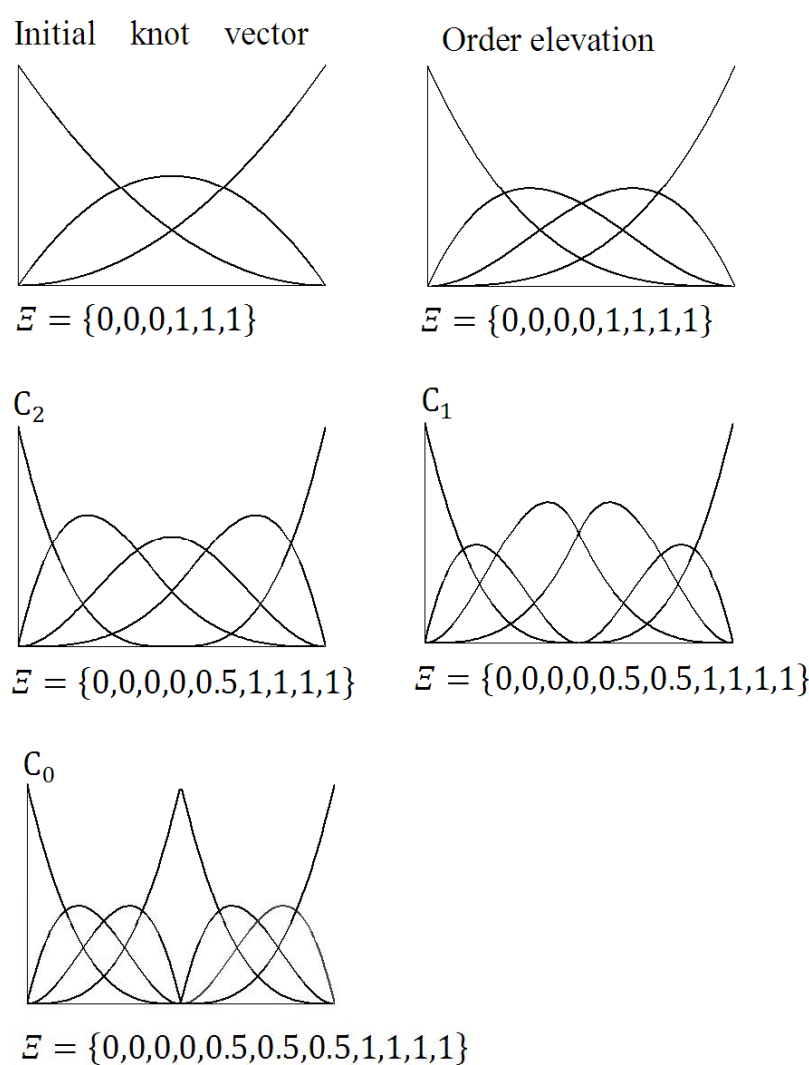
شکل 4 گسسته سازی و غنی‌سازی یکنواخت  $h$  با المان‌های کلاسیک درجه‌ی یک لاغرانژی

می‌باشند. این توابع به صورت گسترده در نرمافزارهای طراحی به کمک کامپیوتر جهت تولید هندسه‌های پیچیده مورد استفاده هستند. روش آیزوژئومتریک نوعی روش المان محدود است که بجای استفاده از توابع لاغرانژی از این توابع به عنوان تابع شکل در المان‌ها استفاده می‌کند. خصوصیات نربزها برگرفته از خصوصیات بی-اسپیلاین‌ها است؛ با این مزیت که توانایی آن‌ها در تولید هندسه‌های مخروطی بیش از بی-اسپیلاین‌ها است. دو بخش بعدی به معرفی این توابع در حد کاربرد در این مقاله اختصاص یافته، برای آشنایی کامل‌تر به مرجع شماره‌ی 3 مراجعه شود.



**Fig. 6** Order elevation by  $p$ -refinement from the coarsest mesh grid and then applying  $h$ -refinement to produce four element cubic NURBS based grid with three continuities respectively  $C_2$ ,  $C_1$  and  $C_0$  (filled points are control points)

شکل ۶ بالا بردن درجه با غنی‌سازی  $p$  از درشت‌ترین شبکه‌بندی ممکن و سپس به کارگیری غنی‌سازی  $h$  برای تولید شبکه‌بندی چهار المانی با توابع پایه نزیب درجه سوم با پیوستگی‌های به ترتیب  $C_2$ ,  $C_1$  و  $C_0$  (نقاط توپر، نقاط کنترلی هستند)



**Fig. 7** The refinements which are used in one direction to produce mesh grids in fig 6: in first step with  $p$ -refinement the order is elevated from two to three and then with insertion of knot  $\xi = 0.5$  with proper multiplicities different continuities  $C_2$ ,  $C_1$  and  $C_0$  are achieved

شکل ۷ غنی‌سازی بکار گرفته شده در یک جهت برای تولید شبکه‌بندی‌های شکل 6 مرحله‌ی اول با غنی‌سازی  $p$  درجه‌ی توابع شکل از دو به سه بالا برده شد و در مراحل بعد با ورود نقطه‌ی  $\xi = 0.5$  با تکرارهای مناسب پیوستگی‌های مختلف  $C_2$ ,  $C_1$  و  $C_0$  حاصل شد

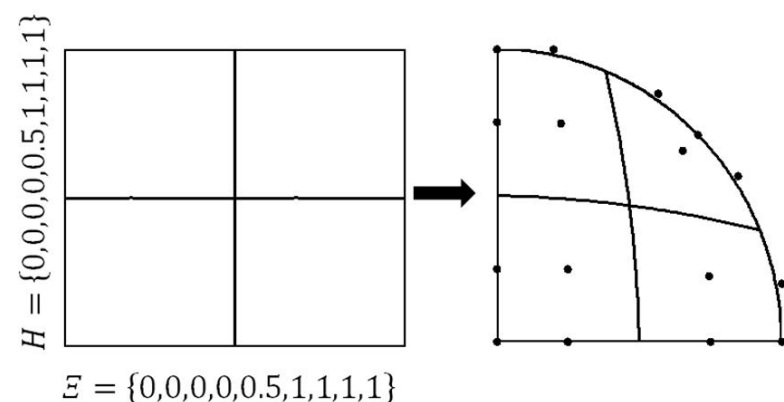
جواب دقیق جابجایی برای کل دامنه در دسترس نبود، خطای زیر دامنه قطراهای عمودی و افقی با استفاده از روابط (3) محاسبه شد.

حاصل از ضرب توابع شکل در مکان گره‌های تشکیل‌دهنده‌ی هر المان به دست می‌آید. به این ترتیب تمام المان‌ها را می‌توان حاصل تبدیل یک المان پارامتری دانست. اما در آیزوژئومتریک فضای پارامتری یک وصله<sup>1</sup> است که می‌تواند شامل چند المان باشد (شکل 5). به این ترتیب در کد نویسی آیزوژئومتریک برای تشکیل ماتریس سفتی کل، ابتدا یک حلقه درون وصله موردنیاز است، سپس حلقه‌ای دیگر درون المان‌ها؛ و در خارجی‌ترین حلقه نقاط گوسی قرار دارند.

در روش آیزوژئومتریک امکان تولید شبکه‌بندی با درجه‌های پیوستگی بالاتر از  $C_0$  وجود دارد. به این ترتیب برای توابع نزیب درجه‌ی دو امکان برقراری پیوستگی‌های  $C_0$ ,  $C_1$  و  $C_2$  و برای توابع نزیب درجه‌ی سه امکان برقراری پیوستگی‌های  $C_0$ ,  $C_1$  و  $C_2$  امکان‌پذیر است. در مدل‌سازی قطعه‌ی دایره‌ای آزمون بزرگی امکان ساخت ربع دایره با یک وصله درجه‌ی دو وجود دارد. سپس این وصله در صورت نیاز به توابع شکل درجه‌ی بالاتر با الگوریتم  $p$  غنی‌سازی می‌شود، سپس در گام‌های بعدی با الگوریتم  $h$  شبکه‌بندی ریزتر حاصل می‌شود. به عنوان نمونه در شکل 6 روند تولید شبکه‌بندی حاوی چهار المان با توابع نزیب درجه‌ی سه و پیوستگی‌های  $C_0$ ,  $C_1$  و  $C_2$  از بزرگ‌ترین المان ممکن با درجه‌ی دو به وسیله تلفیق غنی‌سازی  $h$  و  $p$  (این تلفیق در پیدا کرده) نشان داده شده. در شکل 7 این روند در یک بعد و با نمایش توابع شکل نشان داده شده. برای مطالعه‌ی خطای این مدل با توابع نزیب درجه‌ی دو با  $C_0$  و  $C_1$  و  $C_2$  و برای توابع نزیب درجه‌ی سه با پیوستگی‌های  $C_0$ ,  $C_1$  و  $C_2$  تحلیل شد. پیوستگی  $C_0$  برای توابع نزیب درجه‌ی یک و توابع پیوستگی ممکن است و به همین ترتیب پیوستگی  $C_1$  برای توابع نزیب درجه‌ی دو و پیوستگی  $C_2$  برای توابع نزیب درجه‌ی سه بیشترین پیوستگی‌های ممکن هستند. با توجه به اینکه توابع نزیب درجه‌ی یک و توابع لاغرانژی درجه‌ی یک عیناً یکی هستند (مرجع 3)، لذا در این قسمت آن‌ها تحلیل نشندند.

## 5- بحث

شکل 8 نمودارهای لگاریتمی کاهش خطای افزایش درجه‌ی آزادی برای دو گروه گسسته سازی با توابع شکل درجه‌ی دو و سه را نشان می‌دهد. در هر گروه توابع لاغرانژی و توابع نزیب با پیوستگی‌های ممکن قرار دارد. خطای بر پایه جابجایی و بر اساس رابطه (8) محاسبه شده است. در این رابطه از آنجاکه



**Fig 5** In IGA the parametric domain (patch) may consist of number of elements

شکل ۵ در آیزوژئومتریک فضای پارامتری (وصله) می‌تواند از تعدادی المان تشکیل شود

ترتیب موجب کاهش خطا به میزان 23 درصد و 55 درصد نسبت به استفاده از توابع شکل با پیوستگی  $C_0$  برای درجات آزادی یکسان می‌شود. به عبارتی استفاده از توابع نزیب درجه سه با پیوستگی  $C_0$  مزیتی نسبت به استفاده از توابع لاغرانژی درجه سه ندارد (به نزدیک بودن دو نمودار دقت شود)، ولی پیوستگی‌های بالاتر میزان خطا را به مقدار چشمگیری کاهش می‌دهند.

## 6- نتایج

نتایج زیر حاصل مطالعه‌ی همگرایی تحلیل آیزوژئومتریک در کنار المان محدود کلاسیک برای مسئله و بارگذاری شکل 1 هست:

- 1 در این مسئله، خطا برای توابع لاغرانژی و نزیب با هر پیوستگی و درجه‌ای نرخ همگرایی ثابتی داشت.
- 2 در این مسئله، استفاده از درجات بالاتر پیوستگی در توابع نزیب هم درجه میزان خطا را کاهش داد ولی تأثیری در نرخ آن نداشت.
- 3 در این مسئله، بهترین جواب (کمترین خطا) مربوط به توابع نزیب درجه‌دو با پیوستگی حداکثر  $C_2$  بود. بعد از آن توابع لاغرانژی و پیوستگی  $C_1$  بهترین جواب را دادند. بعد از این‌ها توابع لاغرانژی و نزیب درجه‌ی، دو و سه با پیوستگی  $C_0$  قرار داشتند که اختلاف آن‌ها چندان چشمگیر نبود. لذا در استفاده از توابع نزیب لزوماً درجه‌ی بالاتر جواب بهتری نمی‌دهد و ممکن است پیوستگی نقش مهم‌تری از درجه ایفا کند.

## 7- فهرست علائم

تابع پایه $i$ ام بی اسپیلاین	$B_{i,p}$
مدول الاستیسیته (GPa)	$E$
مدول الاستیک برشی (GPa)	$G$
نیروی مرکز (N)	$P$
بردار کنترلی در فضا	$\bar{P}_i$
درجه‌ی توابع شکل	$p$
شعاع دیسک (cm)	$R$
تابع پایه $i$ ام نزیب (cm)	$R_{i,p}$
ضخامت دیسک	$t$
تابع جابجایی	$U$
جابجایی دقیق یک نقطه در میدان فیزیکی مسئله	$u$
جابجایی تقریبی یک نقطه در میدان فیزیکی مسئله	$\hat{u}$
وزن توابع نزیب	$w_i$
<b>علائم یونانی</b>	
مؤلفه‌های کرنش	$\varepsilon_x, \varepsilon_y, \varepsilon_{xy}$
بردار گرهی در جهت $y$	$H$
ضریب پؤاسون	$v$
بردار گرهی در جهت $x$	$E$
عضوی در بردار گرهی	$\xi_i$
مؤلفه‌های تنش تحلیلی نرمال	$\sigma_x, \sigma_y$
مؤلفه‌های تنش تحلیلی برشی	$\tau_{xy}$

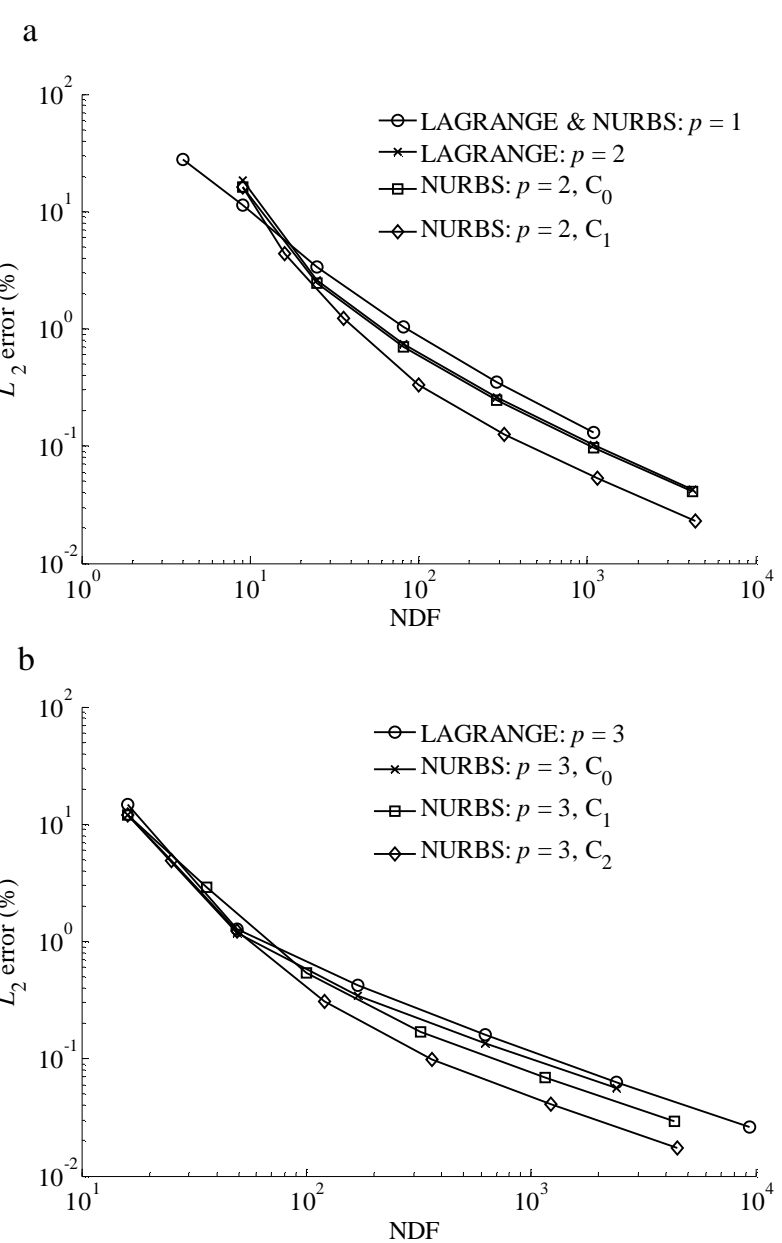
## 8- تقدیر و تشکر

لازم می‌دانم از پدیدآورندگان کدهای igafem و GeoPDEs، جهت در

$$\|e\|_{L_2} = \left[ \int_{\Omega} (u - \hat{u})^T (u - \hat{u}) d\Omega \right]^{\frac{1}{2}} \quad (8)$$

$$\Omega = \Omega |_{x=0} \cup \Omega |_{y=0}$$

در شکل 8 دیده می‌شود که طبق انتظار به دلیل وجود تکینگی نرخ همگرایی (شیب نمودارهای لگاریتمی) با افزایش درجات آزادی به مقدار ثابتی می‌کند. دیده می‌شود که این مقدار ثابت ارتباطی به درجه و نوع توابع شکل و پیوستگی ندارد. یعنی در هر شکل نمودارها با افزایش درجات آزادی به شیب یکسانی می‌رسند و با یکدیگر موازی می‌شوند. با این حال میزان خطا با به کارگیری المان‌های درجه دوم نزیب با پیوستگی  $C_1$  با درونیابی لگاریتمی برای درجات آزادی یکسان حدود 43 درصد نسبت به توابع شکل با پیوستگی  $C_0$  کاهش می‌یابد ولی استفاده از المان‌های نزیب درجه دو با پیوستگی  $C_0$  مزیتی به استفاده از المان‌های لاغرانژی (با پیوستگی  $C_0$ ) ندارد (به نزدیک بودن دو نمودار دقت شود). به عبارتی مزیت استفاده از توابع نزیب درجه دو در این مسئله در پیوستگی بالاتر از  $C_0$  نمایان می‌شود. همین وضعیت در مطالعه نمودارهای مربوط به توابع شکل درجه سه نیز دیده می‌شود. در آنجا نیز نرخ همگرایی با مقادیر قبلی یکسان است و درجه و نوع توابع شکل و پیوستگی آن‌ها تأثیری در نرخ همگرایی ندارند ولی با این وجود استفاده از توابع نزیب درجه سه با پیوستگی‌های  $C_1$  و  $C_2$  با درونیابی لگاریتمی به



شکل 8 همگرایی با افزایش درجات آزادی. (a) توابع شکل خطی و درجه‌ی دو، (b) توابع شکل درجه سه

- 846-852, 2011.
- [9] C. V. Verhoosel, M. A. Scott, T. J. Hughes, R. De Borst, An isogeometric analysis approach to gradient damage models, *International Journal for Numerical Methods in Engineering*, Vol. 86, No. 1, pp. 115-134, 2011.
- [10] T. J. R. Hughes, A. Reali, G. Sangalli, Efficient quadrature for NURBS-based isogeometric analysis, *Computer Methods in Applied Mechanics and Engineering*, Vol. 199, No. 5-8, pp. 301-313, 2010.
- [11] J. A. Cottrell, T. J. R. Hughes, A. Reali, Studies of refinement and continuity in isogeometric structural analysis, *Computer Methods in Applied Mechanics and Engineering*, Vol. 196, No. 41-44, pp. 4160-4183, 2007.
- [12] Y. Bazilevs, V. M. Calo, J. A. Cottrell, J. A. Evans, T. J. R. Hughes, S. Lipton, M. A. Scott, T. W. Sederberg, Isogeometric analysis using T-splines, *Computer Methods in Applied Mechanics and Engineering*, Vol. 199, No. 5-8, pp. 229-263, 2010.
- [13] J. E. Ovri, T. J. Davies, Diametral compression of silicon nitride, *Materials Science and Engineering*, Vol. 96, No. 1, pp. 109-116, 1987.
- [14] G. F. Kamst, J. Vasseur, C. Bonazzi, J. J. Bimbenet, A new method for the measurement of the tensile strength of rice grains by using the diametral compression test, *Journal of Food Engineering*, Vol. 40, No. 4, pp. 227-232, 1999.
- [15] F. Carniero, A. Barcellos, *Concrete tensile strength*, Bulletin No. 13, Union of Testing and Research Laboratories for Materials and Structures, Paris, pp. 97-123, 1953.
- [16] H. Hertz, On the contact of elastic solids, *miscellaneous papers*, pp. 146-162, London, Macmillan, 1896.
- [17] D. Braess, *Finite Elements*, pp. 105-185, Cambridge, University Press, 2007.
- [18] A. R. C. de Falco, and R. Vazquez, GeoPDEs: a research tool for Isogeometric Analysis of PDEs, *Advances in Engineering Software*, Vol. 42, No. 12, pp. 1020-1034, 2011.
- [19] C. A. VP Nguyen, S. Bordas, T. Rabczuk, Isogeometric analysis: an overview and computer implementation aspects, *Mathematics and Computers in Simulation*, Vol. 117, No. 1, pp. 89-116, 2015.

دسترس عموم قرار دادن حاصل کارهایشان تقدیر و تشکر کنم. در  
کدنویسی‌های انجام شده، کمک زیادی از آن‌ها گرفته شد [18, 19].

## 9- مراجع

- [1] R. Eymard, T. Gallouët, R. Herbin, *The finite volume method* in P.G. Ciarlet, J.L. Lions&dagger, *Handbook of Numerical Analysis*, pp. 713-1020, Amsterdam, Elsevier Science, 2000.
- [2] V. P. Nguyen, T. Rabczuk, S. Bordas, M. Duflot, Meshless methods: A review and computer implementation aspects, *Mathematics and Computers in Simulation*, Vol. 79, No. 3, pp. 763-813, 2008.
- [3] T. J. R. Hughes, J. A. Cottrell, Y. Bazilevs, Isogeometric analysis: CAD, finite elements, NURBS, exact geometry and mesh refinement, *Computer Methods in Applied Mechanics and Engineering*, Vol. 194, No. 39-41, pp. 4135-4195, 2005.
- [4] J. A. Cottrell, A. Reali, Y. Bazilevs, T. J. R. Hughes, Isogeometric analysis of structural vibrations, *Computer Methods in Applied Mechanics and Engineering*, Vol. 195, No. 41-43, pp. 5257-5296, 2006.
- [5] Y. Bazilevs, V. M. Calo, T. J. R. Hughes, Y. Zhang, Isogeometric fluid-structure interaction: theory, algorithms, and computations, *Computational Mechanics*, Vol. 43, No. 1, pp. 3-37, 2008.
- [6] T. Elguedj, Y. Bazilevs, V. M. Calo, T. J. Hughes, and projection methods for nearly incompressible linear and non-linear elasticity and plasticity using higher-order NURBS elements, *Computer methods in applied mechanics and engineering*, Vol. 197, No. 33, pp. 2732-2762, 2008.
- [7] L. De Lorenzis, P. Wriggers, T. J. R. Hughes, Isogeometric contact: a review, *GAMM-Mitteilungen*, Vol. 37, No. 1, pp. 85-123, 2014.
- [8] B. Hassani, S. M. Tavakkoli, N. Z. Moghadam, Application of isogeometric analysis in structural shape optimization, *Scientia Iranica*, Vol. 18, No. 4, pp.